

滇黔相邻区二叠系宣威组富稀土黏土岩综合研究进展

蒋晓丽¹, 龚大兴¹, 周家云¹, 田恩源¹, 晁文文²

(1. 中国地质科学院矿产综合利用研究所, 中国地质调查局稀土资源应用技术创新中心,
四川 成都 610041; 2. 成都理工大学, 四川 成都 610041)

摘要: 在滇黔相邻区峨眉山玄武岩之上, 二叠系宣威组下部广泛分布一套富稀土黏土岩。作为一种新类型的潜在稀土资源, 诸多学者对其进行了研究, 包括成矿条件、赋存状态, 富集规律、综合利用方式等多个方面都有了较大的进展。该类型稀土具有非常大的资源潜力, 区域连续性好、集中程度高, 富含高价值的稀土元素镨、钕、铽、镝, 经济价值和开发利用潜力巨大。本文全面总结了宣威组稀土目前的研究进展和存在的关键问题, 提出了下一步研究方向。当前对于宣威组富稀土黏土岩中稀土元素的富集机理尚未明确, 进一步开展成矿理论研究是找矿突破的关键; 赋存状态的研究亟待突破, 对该新类型稀土的综合利用技术突破, 后期绿色勘查开发具有重要的意义; 综合利用方面, 经济可行的绿色选冶技术、伴生的铝、铌、锆、镓、钛等有价元素的综合回收、尾矿的资源化消纳等方面是下一步的主攻方向。

关键词: 新类型稀土; 滇黔相邻区; 宣威组; 富集机理; 综合利用潜力

doi:10.3969/j.issn.1000-6532.2022.01.000000

中图分类号: TD981 文献标志码: A 文章编号: 1000-6532 (2022) 01-0038-10

具有“工业维生素”之称的稀土元素, 被广泛应用农业、工业、军事等行业, 是新材料制造的重要依托和关系尖端国防技术开发的关键性资源^[1]。目前全球稀土消费中, 稀土永磁、催化剂、抛光材料和冶金等运用最广, 这几种新兴产业都是全球的朝阳产业, 它们的快速发展将拉动稀土需求增长, 稀土需求越来越大。一家研究咨询公司表示, 如果市场继续正常运转, 就会出现供应短缺的问题。因此, 加强对中重稀土资源的勘察以及开发利用是首要目标。滇黔相邻区宣威组底部具有一组富稀土黏土岩, 富含高价值的中重稀土元素镨、钕、铽、镝, 经济价值和开发利用潜力巨大。

有关川滇黔相邻区宣威组下部稀土富集最早 的报道出现在《贵州 1:20 万威宁幅区域地质调查

报告》(贵州省地质矿产局, 1972) 中, 提到威宁鹿房地区宣威组底部见稀土矿化层, 且伴生有 Ga、U、Th、Nb, 认为该富稀土层为玄武岩风化而成的红土风化壳离子吸附型稀土矿^[2]。自此诸多学者对富稀土层展开了研究。翟明国等^[1]认为其为玄武岩风化壳型 Nb-Ga-REE 矿床, 并将其列 为新类型关键金属矿床之一; 代世峰等^[3]认为稀 土富集层是碱性火山灰蚀变为黏土岩形成的具有高 经济价值的煤系 Nb-Zr-REE-Ga 矿床; 杨瑞东^[4]等 认为其属于峨眉山玄武岩风化壳型富稀土资源; 田恩源等^[5]认为富稀土层是以玄武岩、凝灰岩和 火山碎屑岩为风化母岩的沉积型稀土矿床; 岳民 汕等^[6]认为该层为古风化壳型钪-铌-稀土矿化富集 层。从成因类型的巨大争议来看, 宣威组下部稀 土有别于传统的碳酸岩型稀土矿, 碱性岩型稀土

收稿日期: 2021-12-01

基金项目: 中国地质调查局地质调查项目“滇黔相邻区稀土资源基地综合地质调查”(DD20211236); “格陵兰岛西南部稀土-铀矿产资源潜力评价”(DD20190446)

作者简介: 蒋晓丽(1997-), 女, 硕士, 研究方向为矿床地球化学。

通信作者: 周家云(1974-), 男, 教授级高级工程师, 研究方向为矿床地球化学。

矿以及离子吸附型稀土矿，属于一种新类型的稀土资源。最新的调查结果显示，整个滇黔相邻区宣威组稀土的远景资源量十分可观，区域连续性好、集中程度高，富含高价值的稀土元素镨、钕、铽、镝，经济价值和开发利用潜力巨大^[7]。但目前，该稀土的成矿条件、富集机理、赋存状态、综合利用方式等方面都存在较多的争议。本文全面总结了宣威组稀土已有的研究进展，讨论了关键科学问题，对产学研结合，深入开展该类型稀土的勘查开发工作指明了方向。

1 地质特征

1.1 分布范围

滇黔相邻区二叠系宣威组富稀土黏土岩广泛分布在云南省东北部昭通、曲靖，贵州省西北部毕节、六盘水地区（图1）。大地构造位置属于特提斯-喜马拉雅与滨太平洋两大全球巨型构造域结合部位，扬子准地台西南缘段，黔北台隆遵义断拱贵阳复杂构造变形区的西段，南邻右江造山带^[8]。位于全国26个重要成矿区带之一的上扬子西缘成矿带，滇东-川南-黔西Pb-Zn-Fe-REE-磷-硫铁矿-钙芒硝-煤和煤层气成矿带，区内能源（煤、煤层气、页岩气）、三稀（稀土、铌、锂、镉、铼、镓等）矿产资源十分丰富^[9]。

1.2 地层及岩石特征

区内主要出露的地层为石炭系与二叠系的地层为主，本文主要介绍富稀土层密切相关的地层，即下伏的晚二叠系峨眉山玄武岩组、陆相沉积的宣威组以及同时异相的海相沉积的龙潭组，研究区内宣威组与龙潭组的相变界限大致位于盐源-镇雄-赫章-六盘水一线（图1）。稀土异常富集仅出现在陆相沉积的宣威组地层中，海陆过渡相沉积的龙潭组未见稀土富集^[10]。

（1）二叠系峨眉山玄武岩组（ $P_{2-3}em$ ）

峨眉山大火成岩省形成于晚二叠世，广泛分

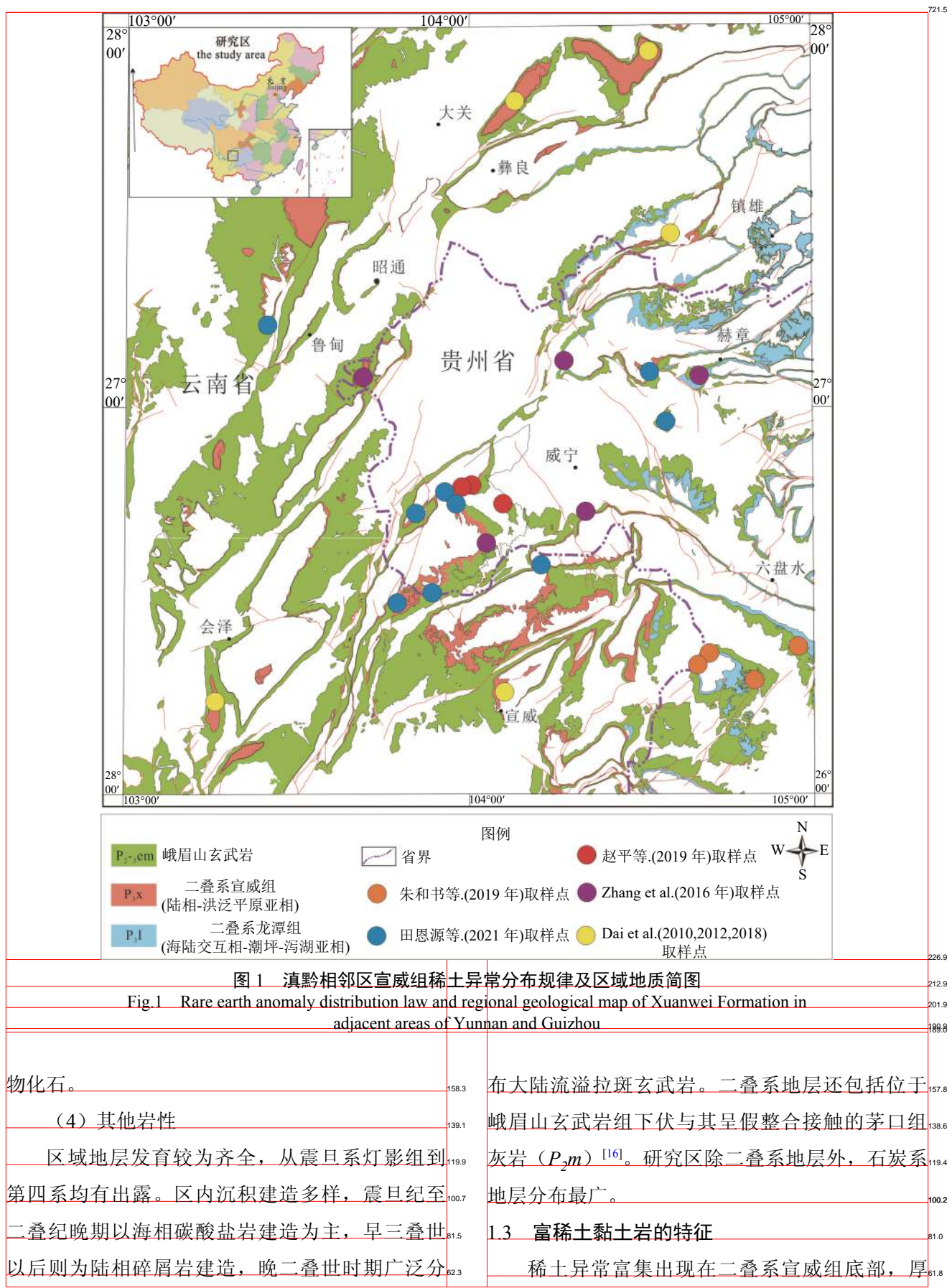
侵入岩组成^[10]。贵州西部峨眉山玄武岩的元素地球化学特征为富集不相容微量元素、稀土元素Ti、F、Rb、Sr、K、U、Th含量高，贫Mg、Ca、Cr和Ni，整体偏碱性^[11]。峨眉山大火成岩省的玄武岩因厚度、成分和岩性变化以及侵入岩的岩性组合和规模规律性变化，将其划分为内、中、外三个带^[12]。西部的熔岩类型包括苦橄岩、玄武岩、玄武质安山岩以及玄武质火山碎屑岩；东部为碱性玄武岩。低钛玄武岩分布在上部，主要为扬子克拉通西部边缘分布，而高钛玄武岩在底部分布，覆盖大火成岩省的整个区域^[13]。徐义刚等将 $TiO_2 > 2.8\%$ 的样品定义为高钛玄武岩， $TiO_2 < 2.8\%$ 的样品为低钛玄武岩^[14]；高钛玄武岩具有 $Ti/Y > 500$ 的特征，孙平原等通过对乌蒙山玄武岩进行分析测试研究，贵州乌蒙山二叠系玄武岩中 Ti/Y 比值介于 $645 \sim 1560$ ，平均值为 $911 > 500$ （高钛玄武岩 $Ti/Y > 500$ ），进一步证明研究区以高钛玄武岩为主^[15]。

（2）二叠系上统宣威组（ P_3x ）

宣威组地层平行不整合与峨眉山玄武岩组之上，整合于三叠系飞仙关组之下的一套陆相含煤碎屑岩，分布于威宁-盘县分区带内，即大致在赫章-六曲至盘县夹马石一线以西地区。宣威组底层岩性特征及含矿性可分为两段：下段主要由高岭石为主要成分的硬质黏土岩组成，夹厚度不等的煤质页岩与煤线，底部出现分布不均匀的紫红色凝灰岩、凝灰质黏土岩，此段为稀土的主要含矿层；上段主要为灰黄色泥质粉砂岩，夹厚度不等的煤层（1~2 m）。

（3）二叠系上统龙潭组（ P_3l ）

龙潭组平行不整合于二叠系玄武岩组之上，为区内主要煤系地层，沉积相为一套潮坪-角洲相沉积，主要岩性为灰、深灰色中厚层黏土岩、粉砂质钙质黏土岩，夹绿灰色中厚层玄武岩屑砂岩、粉砂岩、深灰色灰岩、硅质岩及数十层煤（线）泥岩。含菊石、腕足类、蜓类、珊瑚及植



2~20 m, 空间展布较稳定, 岩性为高岭石软质黏土岩和硬质黏土岩, 夹厚度不等的碳酸质页岩或煤层, 具有凝灰结构、火山角砾以及赤铁矿化^[17]。上覆为黄褐色薄层粉砂质黏土岩与中厚层泥质粉砂岩构成的不等厚韵律层, 下伏为峨眉山玄武岩。样品通过 XRD 结果表明矿物组成为黏土矿物、石英、锐钛矿、方解石、菱铁矿、赤铁矿、钠长石和萤石^[17], 其中黏土矿物为伊利石和蒙脱石的互层、高岭石和绿泥石, 稀土含量与高岭石的含量呈正相关关系^[17]。样品中的高岭石具有两类, 一类符合沉积形成的典型特征, 在电镜下呈自形方板状、半自形和它形, 集合体呈片状、鳞片状、放射状等^[5], 另一类在后期热液溶蚀孔洞中发现以胶结物形式充填的隐晶质集合体, 这类高岭石富集 La, Ce, Er 等稀土元素; 使用 X 射线粉晶衍射发现还有粒径较大, 具有长石假象的叠层状高岭石^[17]。

Dai 等因测井曲线上的高度自然伽马正异常受到启发, 通过对滇东 300 多个钻孔的物探测井曲线结合对岩心样品进行矿物学、岩石学和地球化学的分析结果, 认为富稀土层属于煤型 Nb-Zr-REE-Ga 矿床, 并根据矿石结构将多金属富集层分为碱性火山灰蚀变黏土岩、碱性凝灰质黏土岩、碱性火山凝灰岩和碱性火山角砾岩^[18]; 田恩源等认为稀士富集层为斑团状含粉砂泥质结构、凝灰结构和沉积层状构造的沉积型稀土矿石, 并对稀土富集程度、岩相分布以及岩石组合特征的关系进行了划分^[5]; 张海等认为该层为风化淋积形成的风化壳型稀土矿, 通过对风化壳进行纵向采样, 绘制风化壳稀土含量纵向变化图, 结果表明在稀土元素风化壳中部-全风化-半风化层明显富集, 具备典型风化淋积型稀土矿床稀土元素垂向变化特征^[19]。

综上所述, 对于富稀土黏土岩的认识有以下几种观点: 1) 以蚀变火山灰黏土岩组成的煤型 Nb-Zr-REE-Ga 矿石; 2) 以风化搬运沉积作用为主形

成的沉积型稀土矿石; 3) 以风化淋积作用所形成的风化壳型稀土矿石。

2 异常富集成矿模式研究进展

2.1 稀土元素配分特征

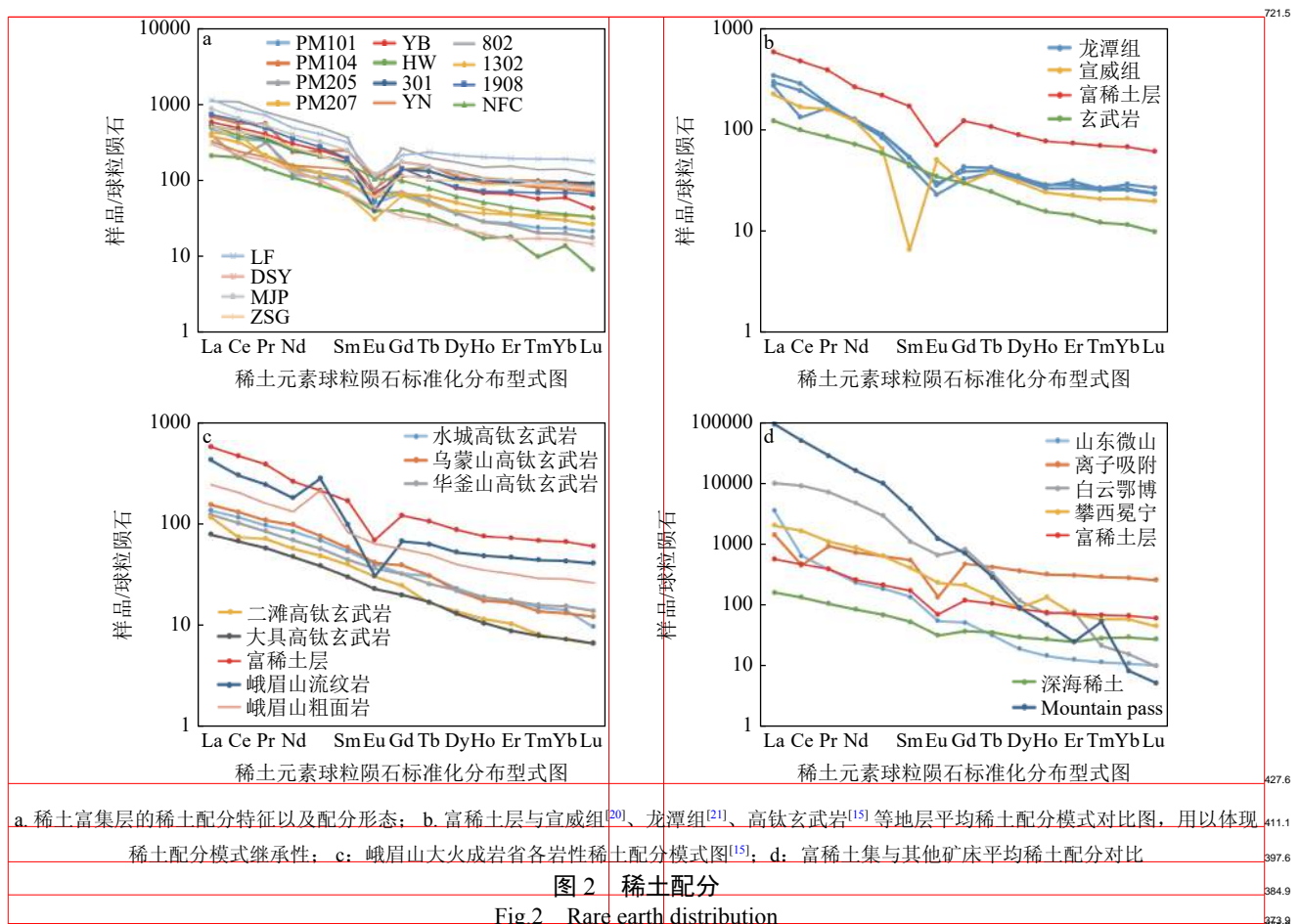
地壳的稀土元素丰度为 ΣREE : 112×10^{-6} ; 峨眉山高钛玄武岩中稀土元素总量为 ΣREE : 238×10^{-6} ; 二叠系宣威组地层中稀土元素总量为 ΣREE : 599×10^{-6} ^[20]; 同时异相的龙潭组地层稀土元素总量为 ΣREE : 454×10^{-6} ^[21]; 研究区富稀土层的稀土元素平均总量为 ΣREE : 901×10^{-6} , 最高可达 1986.36×10^{-6} 。通过对比, 高钛玄武岩的 ΣREE 高出稀土元素的克拉克值一倍以上; 相较于峨眉山高钛玄武岩的稀土含量, 宣威组与龙潭组均高于玄武岩两倍以上。富稀土层的稀土含量对比于高钛玄武岩的稀土含量高达三倍以上, 可见富稀土层发生了明显的富集作用。从稀土配分来看, 在沉积岩中, 稀土富集层相对于与其形成年代相近的龙潭组以及宣威组沉积岩, 稀土配分模式明显不同(图 2b), 宣威组可见明显的 Ce 与 Sm 的负异常、Eu 正异常; 龙潭组与富稀土层稀土配分图走势相近, 部分可见 Ce 的负异常。

富稀土层相比于深海稀土、山东微山、Mountain Pass、攀西冕宁等矿床而言, 稀土配分模式明显不同; 从高经济价值的中重稀土角度上看, 该稀土层富含具有高经济价值的 Pr、Nd、Te、Dy 等元素, 均高于山东微山、攀西冕宁、Mountain Pass 以及深海稀土等矿床, 具有高经济价值潜力。与深海稀土稀土配分特征相对比, 均具有沉积记录的特征, 与其他矿床的稀土配分特征相比, 配分模式明显不同, 是一种具有高经济价值的新类型稀土矿床, 具有非常大的开发潜力。

2.2 成矿条件

(1) 气候条件

贵州晚二叠世位于南半球赤道附近, 季节变



化明显, 气候炎热, 雨季时间较长, 地面径流发育, 存在很短暂的无雨季节, 气候特征类似于现代的热带雨林气候^[23]。Sr/Cu 以及 CIA 参数、ICV^[5] 指数表明沉积岩石分选性高, 玄武岩风化程度较高, 间接指示晚二叠世气候环境温暖潮湿。经过长时间的风化作用, 加上炎热、雨水充沛的气候条件, 使得暴露出来的玄武岩中抗风化能力弱的矿物如辉石长石等矿物中的稀土元素释放, 并迁移沉积^[21]。

(2) 物理化学条件

成因矿物学研究表明, 高岭石的形成一般为 pH<7 的酸性还原弱氧化条件。研究区普遍出现 Eu 负异常, 而 Eu 在还原条件下主要以 Eu²⁺ 存在, 易与其他的三价稀土元素发生分离。而以高岭石为主要成分的黏土岩显示当时的沉积环境为偏还原的酸性环境, 以此造成了 Eu 的负异常, 而

Ce 正负异常均存在, 证明富稀土层遭受后期的改造作用(图 2)。

2.3 物质来源

稀土元素基本不受后期风化改造的影响, 可以有效的继承其母岩的稀土配分模式(McLennan, 1989)。稀土富集层的稀土配分模式与下伏峨眉山玄武岩的配分模式基本一致, 与峨眉山酸性岩稀土配分模式明显不同(图 2a,b), 整体呈现右倾的趋势, LREE 富集, 具有较高的 LREE/HREE 比值, 轻重稀土分异不明显, 分馏明显, 反映出稀土元素主要物源为峨眉山玄武岩^[24], 同时玄武岩稀土丰度值较高, 平均可达 238×10^{-6} ^[25], 也可为富稀土层提供大量来源。田恩源等^[5] 经过 X 粉晶衍射分析, 含矿样品中还具有 β-石英以及方钠石, 表明沉积物中的母岩来源可能还有酸性火山灰或碱性岩; Zhao 等^[17] 认为峨眉山玄武岩在风化

过程中并不是所有都具有稀土富集的情况，滇黔相邻区的稀土矿化为碱性火山灰的加入，在沉积盆地中沉淀；样品中所赋存的蠕虫状高岭石也证实其风化来源为火山灰原位蚀变而成。	稀土元素可能是以类质同相的形式赋存在粘土矿物中，部分以吸附的形式存在 ^[29] 。张海通过用2%的硫酸铵溶液作为浸取剂，对峨眉山风化壳样品分别进行小批量浸出、摇瓶浸出、柱淋洗浸出及搅拌浸出等浸出实验，稀土浸取率均不高，约31.2%~53.8%，表明呈吸附状态存在的稀土含量较低；用盐酸浓度为变量，温度在60℃条件下，稀土的浸出率为65.2%~86.4%，远大于硫酸铵的浸取率，表明稀土有一部分是以胶态形式赋存，也指示在酸性条件下，稀土浸出率会升高，其中在稀土元素中Ce的浸出率与盐酸浓度呈正相关关系，表明Ce元素主要以胶态沉积相赋存；通过微区分布特征发现，La、Ce、Pr、Tb、Dy及Sc等元素富集在黏土矿物中，Er和Tm在黏土矿物中轻微富集，而其他稀土元素则分布较为分散，并配合能谱分析首次发现了磷酸镧矿物颗粒 ^[19] 。
2.4 成矿模式 杨瑞东等 ^[4] 认为稀土富集原因与风化壳密切相关，稀土元素在强烈风化作用过程中释放出来，轻稀土元素易并被风化壳中的高岭石颗粒吸附并富集，而重稀土迁移过程中形成络合物流失；田恩源 ^[5] 等认为成矿母岩在经过风化剥蚀淋滤后搬运至低洼的洪泛平原后，与火山灰一起沉积，在淋滤作用下稀土元素在原地再富集或以类质同象的方式进入晶格；袁民汕等发现稀土元素在碳质黏土岩、碳质页岩中富集程度最高，认为稀土元素在迁移、活化、富集过程中，有机质可能起到了重要作用 ^[6] ；张海等认为玄武岩在风化过程中，难以迁移的稀土元素富集并吸附在黏土矿物表面，经过地壳表面径流作用渗透，最终在全风化-半层中富集，并认为由于峨眉山碱性玄武岩风化壳相对富集轻稀土，而华南花岗岩风化壳富集重稀土，造成两种风化壳的富集类型不一致的原因是因为成矿母岩酸碱性的区别 ^[19] 。	综上，目前对该稀土赋存形式的认识有离子吸附型、胶态附着型、离子胶态混合型、类质同象以及独立矿物磷酸盐类等。赋存状态的巨大争议和不确定性制约了综合利用技术的突破。
3 赋存状态 曾励训等 ^[2] 首先指出富稀土层含有离子吸附型稀土。黄训华 ^[27] 通过对威宁鹿房的稀土层进行剖析，认为稀土元素赋存状态为离子吸附型、胶态附着型以及离子胶态混合型；吴承泉 ^[28] 等通过逐级提取实验结果显示稀土元素与磷元素均在残液中，锰铁氧化物、碳酸盐、磷灰石和粘土矿物离子吸附的REE含量基本都小于1%，样品中的Y元素在谱图上的特征与磷钇矿特征一致，认为研究区粘土岩中的稀土主要以磷酸盐（磷钇矿、独居石）的形式存在；徐莺等通过对富稀土样品进行X衍射实验，未发现独立的稀土矿物，认为	4 综合利用方面的研究进展 目前，全球正在开发利用的稀土矿床主要为两类，一是有独立矿物的碳酸岩型、碱性岩型及海滨砂型，载体矿物主要为氟碳铈矿、磷铝铈矿、独居石；二是无独立矿物的风化壳离子吸附型稀土矿（表1）。 风化壳型稀土矿目前工业上可选择的生产工艺主要是原地浸出工艺和堆浸工艺。原地浸出工艺对矿山水系和植被破坏很小，容易生态恢复，并有效防止山体滑坡等地质灾害的发生。但在没有假底板且有裂缝的稀土矿山，地质结构和地下水系复杂，采用堆浸工艺可以避免稀土浸出液泄漏以及无法回收稀土等问题 ^[30] 。 从矿物学角度分析，宣威组稀土异常出现在

表 1 全球稀土矿床资源量及利用方式
Table 1 Global rare earth deposit resources and utilization methods

1715.	712.5	the Permian Emeishan basalts in SW China[J]. Chinese Science Bulletin, 1985(12):929-932.	697.5
DAI S F, REN D Y, ZHOU Y P, et al. Coal-hosted rare metal deposits: Genetic types, modes of occurrence, and utilization evaluation[J]. Journal of China Coal Society, 2014, 39(8):1707-1715.	697.5	[11] 郭佩佩, 张海, 刘军, 等. 黔西北地区二叠纪玄武岩风化壳常量元素的地球化学特征[J]. 中国地质调查, 2017, 4(1):39-44.	682.5
YANG R D, BAO M, LIAO L, et al. Ancient weathering crust and its mineralization near the middle-upper permian boundary in western Guizhou Province[J]. Acta mineralogica Sinica, 2007(01):41-48.	607.5	GUO P P, ZHANG H, LIU J, et al. Geochemical characteristics of paleo-weathering crust of Permian basalt in Northwestern Guizhou[J]. Geological Survey of China, 2017, 4(1):39-44.	622.5
TIAN E Y, GONG D X, LAI Y, et al. Genesis and enrichment of sedimentary rare earth in Weining area, Guizhou Province[J]. Earth Science, 2021, 46(8):2711-2731.	517.5	[12] 陈雷, 支霞臣, 张招崇, 等. 云南丽江苦橄岩 Re-Os 同位素地球化学初步研究[J]. 高校地质学报, 2007(2):337-343.	592.5
GUN M S, CAI G S, ZENG D G, et al. Discovery and significance of the Sc-Nb-REE-enriched zone in the paleocrust of weathering a top the Permian Emeishan basalt in the western Guizhou, China[J]. Acta mineralogica Sinica, 2021, 41(Z1):531-547.	487.5	CHEN L, ZHI X C, ZHANG Z C, et al. Preliminary study on Re-Os isotope geochemistry of picrites from Lijiang Area, Yunnan Province[J]. Geological Journal of China Universities, 2007(2):337-343.	577.5
[6] 裴民汕, 蔡国盛, 曾道国, 等. 贵州西部二叠系峨眉山玄武岩顶部古风化壳钪-铌-稀土矿化富集层的发现与意义[J]. 矿物学报, 2021, 41(Z1):531-547.	442.5	[13] Xiao L, Xu Y G, Mei H J, et al. Distinct mantle sources of low-Ti and high-Ti basalts from the Western Emeishan large igneous province, SW China: implications for plume-lithosphere interaction[J]. Earth and Planetary Science Letters, 2004, 228(3-4):525-546.	487.5
[7] 贺大兴. 贵州毕节-六盘水地区能源资源基地综合地质调查项目成果报告[R]. 成都: 中国地质科学院矿产综合利用研究所, 2021.	352.5	[14] 徐义刚, 钟孙霖. 峨眉山大火成岩省: 地幔柱活动的证据及其熔融条件[J]. 地球化学, 2001, 30(1):1-9.	472.5
GONG D X. Report of comprehensive geological survey of energy resource base in Bijie-Liupanshui, Guizhou Province[R]. Institute of Multipurpose Utilization of Mineral Resources, Chinese Academy of Geological Sciences, 2021.	307.5	XU Y G, Zhong S L. The Emeishan large igneous province: Evidence for mantle plume activity and melting conditions[J]. Geochimica, 2001, 30(1):1-9.	502.5
[8] 张海. 黔西北地区稀土矿床地质地球化学特征及其成矿机制研究[D]. 成都: 成都理工大学, 2014.	247.5	[15] 孙平原, 何碧, 赵飞, 等. 贵州乌蒙山黔西地区二叠系玄武岩地球化学特征及其地质意义[J]. 科学技术与工程, 2019, 19(12):41-51.	532.5
ZHANG H. Geological and geochemical characteristic and metallonenic mechanism of REE deposit, Northwestern Guizhou[D]. Chengdu University of technology, 2014.	217.5	SUN P Y, HE B, ZHAO F, et al. Geochemical characteristics and their geological significance of Permian basalt rocks in Qianxi Area, Wumengshan of Guizhou Province[J]. Science Technology and Engineering, 2019, 19(12):41-51.	562.5
[9] 陶平, 陈建书, 陈启飞, 等. 关于贵州省成矿区带的划分方案[J]. 贵州地质, 2018, 136(3):171-180+217.	172.5	[16] 肖加飞, 熊小辉, 付绍洪. 贵州峨眉山玄武岩东部边缘带岩石地球化学特征及其有关的成矿作用[J]. 矿物学报, 2011, 31(S1):177-178.	592.5
TAO P, CHEN J S, CHEN Q F, et al. Division scheme about the metallogenic zones of Guizhou Province[J]. Guizhou Geology, 2018, 136(3):171-180+217.	142.5	XIAO J F, XIONG X H, FU S H. Petrogeochemical characteristics and related mineralization of the eastern marginal zone of Emeishan basalt in Guizhou Province[J]. Acta Mineralogica Sinica, 2011, 31(S1):177-178.	622.5
[10] 林建英. 中国西南三省二叠纪玄武岩系的时空分布及其地质特征[J]. 科学通报, 1985(12):929-932.	97.5	[17] Zhao L, Dai S, Graham I, et al. Clay mineralogy of coal-hosted Nb-Zr-REE-Ga mineralized beds from Late Permian Strata, Eastern Yunnan, SW China: implications for paleotemperature and origin of the micro-quartz[J]. Minerals, 2016, 6(2).	682.5
LIN J Y. Spatial distribution and geological characteristics of	67.5	[18] Dai S, Zhou Y, Zhang M, et al. A new type of Nb	697.5

(Ta)-Zr(Hf)-REE-Ga polymetallic deposit in the late Permian coal-bearing strata, eastern Yunnan, Southwestern China: possible economic significance and genetic implications[J]. <i>International Journal of Coal Geology</i> , 2010, 83(1):55-63.	671.25	[26] 徐义刚, 钟孙霖. 峨眉山大火成岩省: 地幔柱活动的证据及其熔融条件[J]. <i>地球化学</i> , 2001, 30(1):1-9.	697.5
[19] 张海, 郭佩佩, 杨国彬. 贵州西部峨眉山玄武岩风化壳中稀土元素赋存状态研究 [J]. 中国稀士学报: 1-13.	652.5	XU Y G, ZHONG S L. The Emeishan large igneous province: evidence for mantle plume activity and melting conditions[J]. <i>Geochimica</i> , 2001, 30(1):1-9.	682.5
ZHANG H, GUO P P. REE occurrence in the Emeishan basalt weathering crust of Western Guizhou[J]. <i>Journal of the Chinese Society of Rare Earths</i> : 1-13.	622.5	[27] 黄训华. 威宁鹿房稀士矿地质特征及成矿作用初步分析 [J]. <i>贵州地质</i> , 1997(4): 328-333.	637.5
[20] 陈国勇, 范玉梅, 孟昌忠, 等. 贵州威宁-赫章二叠系乐平统含铁、铝岩系沉积环境及成矿元素富集特征分析 [J]. <i>地质与勘探</i> , 2017, 53(2):237-246.	577.5	HUANG X H. The Lufang rare earth deposit in Weining, Western Guizhou and its mineralization. <i>Guizhou Geology</i> , 1997(4): 328-333.	592.5
CHEN G Y, FAN G M, MENG C Z, et al. Sedimentary environments and mineral element concentration features of iron-aluminum-bearing rock series in the Leping Series of Permian of the Weining-Hezhang Area, Guizhou[J]. <i>Geology and Exploration</i> , 2017, 53(2):237-246	532.5	[28] 吴承泉, 张正伟, 秦海波, 等. 贵州西部宣威组粘土岩稀土元素赋存状态和富集规律 [C]. 第九届全国成矿理论与找矿方法学术讨论会, 2019: 2.	547.5
[21] 鲍森. 贵州六盘水地区晚二叠世龙潭组煤系地层中瓦斯富集规律的研究 [D]. 贵州: 贵州大学, 2007.	457.5	WU C Q, ZHANG Z W, QIN H B, et al. Occurrence state and enrichment regularity of rare earth elements in clay rocks of Xuanwei Formation, western Guizhou[C]. The 9th National Symposium on metallogenetic theory and prospecting methods, 2019: 2.	532.5
BAO M. Study on distribution of methane in the Late Permian coal-bearing strata in Shuicheng-Panxian-Luzhi; Guizhou Province, China[D]. Guizhou: Guizhou University, 2007.	412.5	[29] 徐莺, 戴宗明, 龚大兴, 等. 贵州某地二叠系宣威组富稀土岩系稀土元素赋存状态研究 [J]. <i>矿产综合利用</i> , 2018(6):90-94+101.	442.5
[22] 梁宇馨, 李红, 张冬冬, 等. 四川盆地华蓥山峨眉玄武岩地球化学特征及其成因分析 [J]. <i>地质科学</i> , 2021, 56(1):288-302.	382.5	XU Y, DAI Z M, GONG D X, et al. Study on the occurrence state of rare earth elements of rare earth enriched rocks in the Permian Xuanwei Formation in Guizhou Province[J]. <i>Multipurpose Utilization of Mineral Resources</i> , 2018(6):90-94+101.	412.5
LIANG Y X, LI H, ZHANG D D, et al. Geochemical characteristics and genetic analysis of Huayingshan Emeishan basalt in Sichuan Basin[J]. <i>Chinese Journal of Geology</i> , 2021, 56(1):288-302.	337.5	[30] 程建忠, 车丽萍. 中国稀土资源开采现状及发展趋势 [J]. <i>稀土</i> , 2010, 31(2):65-69+85.	397.5
[23] 郭英廷. 贵州西部晚二叠世古气候 [J]. 中国煤田地质, 1990(3):22-24+2.	277.5	CHENG J Z, CHE L P. Current mining situation and potential development of rare earth in China[J]. <i>Chinese Rare Earths</i> , 2010, 31(2):65-69+85.	382.5
GUO Y T. Late Permian paleoclimate of Western Guizhou[J]. <i>China coal geology</i> , 1990(3):22-24+2.	247.5	[31] 徐璐. 一种选择性浸出沉积型稀土矿的方法: 中国 ZL201811407361.2[P]. 2020-04-24.	367.5
[24] 王强, 杨瑞东, 鲍森. 贵州毕节地区煤层中稀土元素在含煤地层划分与对比中应用探讨 [J]. <i>沉积学报</i> , 2008(1):21-27.	217.5	XU L. A method for selective leaching of sedimentary rare earth ore: China, ZL201811407361.2[P]. 2020-04-24.	392.5
WANG Q, YANG R D, BAO M. Discussion on the role of REE in stratigraphic and correlation in coal measures from Bijie Area, Guizhou Province[J]. <i>Acta Sedimentologica Sinica</i> , 2008(1):21-27.	187.5	[32] Yang M, Liang X, Ma L, et al. Adsorption of REEs on kaolinite and halloysite: A link to the REE distribution on clays in the weathering crust of granite[J]. <i>Chemical Geology</i> , 2019, 525:210-217.	422.5
[25] 毛德明, 张启厚, 安树仁. 贵州西部峨眉山玄武岩及有关矿产 [M]. 贵阳: 贵州科技出版社, 1992: 1-152.	127.5	[33] He P, He M, Zhang H. State of rare earth elements in the rare earth deposits of Northwest Guizhou, China[J]. <i>Acta Geochimica</i> , 2018, 37(6):867-874.	442.5
MAO D M, ZHANG Q H, AN S R. Emeishan basalt and minerals of Western Guizhou[M]. Guiyang: Guizhou Science and Technology Press 1992: 24-3.	97.5	[34] 陈蕤, 周剑飞, 葛枝华, 等. 黔西南地区玄武岩风化壳稀土赋存状态与浸出实验 [J]. <i>矿物学报</i> , 2019, 39(4):380-387.	457.5

388.	CHEN R, ZHOU J F, GE Z H, et al. A study on the occurrence state and leaching experiment of REE in basalt weathering crusts in the Weining District, Western Guizhou[J]. Acta Mineralogica Sinica, 2019, 39(4):380-388.	712.5 697.5 682.5 667.5 652.5	XU C, HUANG Z L, LIU C Q, et al. Geochemistry of carbonate rocks in Maoniuping REE deposit[J]. Science China(Earth Sciences), 2002(8):635-643.	712.5 697.5 682.5 667.5 652.5
[35]	张臻悦,何正艳,徐志高,等.中国稀土矿稀土配分特征[J].稀土,2016,37(1):121-127.	637.5 622.5	[38] Weng Z, Jowitt S M, Mudd G M, et al. A detailed assessment of global rare earth element resources: opportunities and challenges[J]. Economic Geology, 2015, 110(8):1925-1952.	637.5 622.5
ZHANG Z Y, HE Z Y, XU Z G, et al. Rare earth partitioning characteristics of China rare earth ore[J]. Chinese Rare Earth, 2016, 37(1):121-127.	607.5 592.5 577.5	[39] 赖小东.内蒙古白云鄂博REE-Nb-Fe矿床成因问题研究[D].合肥:中国科学技术大学,2013.	607.5 592.5 577.5	
[36] 方明山,石学法,肖仪武,等.太平洋深海沉积物中稀土矿物的分布特征研究[J].矿冶,2016,25(5):81-84.	562.5 547.5	LAI X D. Study of genesis of Bayan Obo REE-Nb-Fe deposit, Inner Mongolia[D]. Hefei: University of Science and Technology of China, 2013.	562.5 547.5	
FANG M S, SHI X F, XIAO Y W, et al. Research on discussion characteristics of rare earth mineral of deep sea sediments in the pacific ocean[J]. Mining & Metallurgy, 2016, 25(5):81-84.	532.5 502.5 487.5	[40] 周伟伟,蔡剑辉,阎国翰.山东郯山碱性杂岩体地球化学特征及其意义[J].西北地质,2013, 46(04):93-105.	532.5 517.5	
[37] 许成,黄智龙,刘从强,等.四川牦牛坪稀土矿床碳酸岩地球化学[J].中国科学(D辑·地球科学),2002(8):635-643.	472.5 457.5	ZHOU W W, CAI J H, YAN G H. The geochemical characteristic and geological significance of alkaline complex in Xishan of Shandong Province[J]. Northwestern Geology, 2013, 46(04):93-105.	472.5 457.5	

The Research Progress and Problems of Rare Earth Elements of Rare Earth Rich Clay Rock Permian Xuanwei Formation in the Yunnan-Guizhou Border Region

Jiang Xiaoli¹, Gong Daxing¹, Zhou Jiayun¹, Lai Yang¹, Chao Wenwen²

(1 Institute of Multipurpose Utilization of Mineral Resources, Chinese Academy of Geological Sciences Technology Innovation Center of Rare Earth Resources Development and Utilization, China Geological Survey, Chengdu, Sichuan, China; 2 Chengdu University of Technology, Chengdu, Sichuan, China)

Abstract: A set of rare earth rich clay rocks is widely distributed in the lower part of The Permian Xuanwei Formation and upper the Emeishan basalt in the Yunnan-Guizhou border region. As a new type potential rare earth deposit, researchers have studied it and got great progress, including metallogenetic conditions, occurrence state, enrichment regulation, multipurpose utilization methods and so on. This new type deposit holds giant resource potential, great regional continuity, high concentration, enrich high value rare earth element, such as Pr, Nd, Td, Dy, and economic value and large potential of development and utilization. This paper summarizes the current research progress and key problems of rare earth in rare earth rich clay rock, Xuanwei Formation, and discusses the next research direction. At present, there has not defined on the enrichment mechanism of rare earth elements in rare earth rich clay rock, xuanwei Formation, and further research on metallogenetic theory is the key to breakthrough in prospecting. It is urgent to make a breakthrough in the study of occurrence state, which is of great significance for the comprehensive utilization of this new type of rare earth. In terms of comprehensive utilization, economically feasible green beneficiation and smelting technology, comprehensive recovery of associated valuable elements Al, Nb, Zr, and Ga, and reclamation and absorption of tailings are the main directions for the next step.

Keywords: New-type deposit; Yunnan-Guizhou Border Region; Xuanwei formation; enrichment mechanism; multipurpose utilization potential